植物乳植杆菌 HCS03-001 冻干粉制备工艺优化及抗幽门螺杆菌的功效

汪海涛^{1,2}、 宋佳^{1,2}、 余萍^{1,2*}、 陈雪娇^{1,2}

1.江西仁仁健康微生态科技有限公司, 江西 樟树 331200;

2.仁仁微生物科技研究(沈阳)有限公司,沈阳 110170

摘 要: 为优化植物乳植杆菌(Lactiplantibacillus plantarum)HCS03-001的 东干粉制备工艺,探究其抗幽门螺杆菌的功能效果,通过单因素试验、主因素分析和响应面试验优化植物乳植杆菌 HCS03-001 东干粉的制备工艺,采用体外抑菌试验验证该益生菌的抗幽门螺杆菌功效。结果发现,优化后制备冻干粉的最佳工艺条件为:发酵温度 37°C,发酵时间 16 h,接种量 5.2%, 冻干时间 44 h,在此条件下活菌数达到 5.85×10¹¹ CFU·g⁻¹。体外抑菌试验结果表明植物乳植杆菌 HCS03-001的发酵上清液和菌悬液均能有效抑制幽门螺杆菌的生长,抑制率达到 69.55%~78.78%。研究结果表明植物乳植杆菌 HCS03-001具备抗幽门螺杆菌的功能。

关键词:植物乳植杆菌;冻干粉;响应面;幽门螺杆菌

DOI: 10.19586/j.2095-2341.2023.0125

中图分类号:Q815, TS201.3 文献标志码:A

Optimization of Preparation Technology of *Lactiplantibacillus plantarum* HCS03-001 Freeze-dried Powder and its Anti-*Helicobacter pylori* Function

WANG Haitao^{1,2}, SONG Jia^{1,2}, YU Ping^{1,2*}, CHEN Xuejiao^{1,2}

1. Jiangxi Renren Health Microecological Technology Co., Ltd., Jiangxi Zhangshu 331200, China;

2. Renren Microbial Technology Research (Shenyang) Co., Ltd., Shenyang 110170, China

Abstract: The aim of the study is to optimize the preparation technology of freeze-dried powder of *Lactiplantibacillus plantarum* HCS03-001 and explore its functional effect of anti-*Helicobacter pylori*. In this study, the preparation technology of freeze-dried powder of *Lactiplantibacillus plantarum* HCS03-001 was optimized by single factor test, principal factor analysis and response surface test, and then the anti-*Helicobacter pylori* effect of the probiotics was verified by bacteriostatic test *in vitro*. The results showed that the optimum conditions for preparing freeze-dried powder were fermentation temperature 37 °C, fermentation time 16 h, inoculum 5.2% and freeze-drying time 44 h. Under these conditions, the number of live bacteria was 5.85 × 10¹¹ CFU·g⁻¹. These results of bacteriostatic test *in vitro* showed that the fermentation supernatant and bacterial suspension of *Lactiplantibacillus plantarum* HCS03-001 could effectively inhibit the growth of *Helicobacter pylori*, and the inhibition rate was 69.55%~78.78%, which showed that *Lactiplantibacillus plantarum* HCS03-001 have the function of anti-*Helicobacter pylori*.

Key words: Lactiplantibacillus plantarum; freeze-dried powder; response surface; Helicobacter pylori

幽门螺杆菌(Helicobacter pylori)是一种微需氧微生物,栖息在人胃中,引起长期胃部炎症,导致胃炎,诱发胃癌^[14]。幽门螺杆菌感染是人类最常见的慢性细菌性疾病之一,影响着全球约44亿人的

身体健康,其中发展中国家受影响最深^[5],2012—2022年我国幽门螺杆菌的感染率达42.26%^[6]。因此,如何更有效地拮抗幽门螺杆菌受到广泛关注。目前,对于幽门螺杆菌的治疗主要采用的方法是

大剂量、多种抗生素同时服用,如由奥美拉唑、阿 莫西林和克拉霉素组成的三联疗法,但是此种方法 有多种弊端,如在杀灭幽门螺杆菌的同时也会造成 体内有益菌的损伤,增加了幽门螺杆菌的耐药性 风险,进而降低抗生素的治疗效果,增加了患者的 治疗难度和成本等[7]。

益生菌补充疗法是治疗幽门螺杆菌感染的 一种新兴疗法[8]。一方面,益生菌可以竞争性抑 制幽门螺杆菌,同时改善肠道微生物组成[9];另一方 面,当益生菌进入人体后,会产生乳酸、过氧化氢和 细菌素等抗菌物质,从而抑制幽门螺杆菌的脲酶 活性[10]。此外,益生菌产生的活性氧还会损坏细菌 细胞壁及其细胞膜[11]。目前研究表明,乳杆菌、双 歧杆菌、酵母菌等可有效控制与幽门螺杆菌相关 的胃肠道症状[12]。植物乳植杆菌(Lactiplantibacillus plantarum)是乳杆菌的一种,具有多种生理功 能,且安全性高。本研究组前期从健康婴儿肠道 获得了1株植物乳植杆菌HCS03-001,具有抑制 肠道致病菌和口腔致病菌、通便等功效[13-16]。为 了进一步研究植物乳植杆菌 HCS03-001 在抗幽门 螺杆菌中的功能效果,本试验通过单因素试验、主 因素分析和响应面优化的方法优化植物乳植杆菌 HCS03-001冻干粉制备工艺,然后通过体外抑菌试 验验证该益生菌对幽门螺杆菌的抑菌效果,以期开 发出用以干预和治疗幽门螺杆菌感染的益生菌。

1 材料与方法

1.1 材料与设备

植物乳植杆菌 HCS03-001 保存于中国微生物 菌种保藏管理委员会普通微生物中心,保藏编号 为CGMCC NO.16258。

植物乳植杆菌HCS03-001培养基:酵母蛋白胨 18.0 g·L⁻¹、葡萄糖 32.0 g·L⁻¹、酵母浸出物 12.0 g·L⁻¹、 乙酸钠 10.0 g·L⁻¹、硫酸镁 0.1 g·L⁻¹、吐温 80 0.5 g·L⁻¹、 磷酸二氢钾 3.0 g·L⁻¹、余量为无菌水, pH 6.2, 115 ℃下灭菌 30 min。

冻干保护剂:脱脂乳粉75.0 g·L⁻¹、麦芽糊精 25.0 g·L⁻¹、海藻糖 150.0 g·L⁻¹、吐温 80 0.6 g·L⁻¹、甘油 10.0 g·L⁻¹、谷氨酸钠1.2 g·L⁻¹、抗坏血酸钠1.2 g·L⁻¹, 余量为无菌水,于115 ℃灭菌30 min,待温度降至 室温后,冷藏于-4℃冰箱内备用。

改良MRS培养基:蛋白胨 10.0 g·L-1、牛肉粉

3.0 g·L⁻¹、酵母粉4.0 g·L⁻¹、磷酸氢二钾2.0 g·L⁻¹、柠 檬酸2.0 g·L⁻¹、乙酸钠5.0 g·L⁻¹、葡萄糖20.0 g·L⁻¹、七 水合硫酸镁 0.58 g·L⁻¹、四水合硫酸锰 0.25 g·L⁻¹、吐 温-80 0.60 g·L⁻¹,调pH至6.5,115 ℃下灭菌30 min。

1.2 植物乳植杆菌 HCS03-001 冻干粉制备工艺 优化

1.2.1 植物乳植杆菌 HCS03-001 冻干粉制备工 艺 冻存菌种经过常温复苏、活化、发酵培养后离 心收集菌泥,向菌泥中添加一定量的冻干保护剂 并混合均匀,随后将混合物分装到冻干机托盘中, 在真空度 0~1.0 Pa,温度-25 ℃的条件下冷冻干 燥,最后收集冻干粉并进行粉碎和分装。

1.2.2 单因素试验 以活菌数为考察指标,按照 冻干粉的生产工艺进行单因素试验,其中发酵温 度分别设置为35、36、37、38、39℃;发酵时间分别 设置为 8、12、16、20、24 h; 初始 pH 分别设置为 6.0、6.3、6.6、6.9、7.2;接种量分别设置为1%、3%、 5%、7%、9%;冻干保护剂添加比例分别设置为菌 泥(kg):冻干保护剂(L)=1:1、1:2、1:3、1:4、1:5; 冻干时间分别设置为40、42、44、46、48 h,试验结 束后采用平板稀释法测定冻干粉的活菌数。

1.2.3 主因素筛选试验 参考周宇朦[17]的试验方 法,利用Plackett-Burman(PB)试验设计,对上述生 产工艺中的影响因素进行筛选。选择发酵温度 (°C)、发酵时间(h)、初始pH、接种量(%),冻干保护 剂添加比例、冻干时间(h)共6个因素为对象,用 Minitab 17软件设计试验,筛选出对活菌数影响比 较显著的4个因素,试验设计如表1所示。

表1 PB试验因素及水平设计

Table 1 Factors and level design of Plackett-Burman test

因素	水平		
四条	-1	1	
发酵温度/℃	35	36	
发酵时间/h	8	12	
初始 pH	6.0	6.3	
接种量/%	1	3	
冻干保护剂添加比例	1:1	1:2	
冻干时间/h	40	42	

1.2.4 响应面试验 参考张立华等[18]的试验方 法,运用Design-Expert软件进行4因素3水平响应 面试验,以冻干粉的活菌数为响应值,对发酵温度 (°C)、发酵时间(h)、接种量(%)、冻干时间(h)4个 工艺参数进行优化,确定最优冻干粉制备工艺,试 验设计见表2。

表2 Box-Behnken设计因素水平编码表

Table 2 Horizontal coding table of Box-Behnken design factors

因素		水平	
凶系	-1	0	1
发酵温度/℃	36	37	38
发酵时间/h	12	16	24
接种量/%	3	5	7
冻干时间/h	42	44	46

1.3 植物乳植杆菌 HCS03-001 体外抗幽门螺杆 菌试验

1.3.1 植物乳植杆菌 HCS03-001 发酵上清液与菌 悬液的制备 将植物乳植杆菌 HCS03-001 按优化后的条件发酵,发酵液于 8 000 r·min⁻¹、4 °C离心 15 min,分别收集上清液和菌体沉淀。上清液采用 0.22 μm滤膜过滤 2次除菌,菌体沉淀用无菌 PBS洗涤 2次并重悬,使菌体活菌数达到 1×10° CFU·mL⁻¹。 1.3.2 幽门螺杆菌的制备 取 100 μL幽门螺杆菌菌液涂布于哥伦比亚血琼脂培养基中,微需氧环境中 37 °C培养 48 h,挑取纯化后的单菌落接入幽门螺杆菌液体培养基中培养。

1.3.3 对幽门螺杆菌抑菌率的测定 采用琼脂扩散法,分别测量植物乳植杆菌 HCS03-001 发酵上

清液、植物乳植杆菌 HCS03-001 菌悬液对幽门螺杆菌的抑菌活性,以浓度为 0.05 mg·mL⁻¹的甲硝唑溶液为阳性对照, MRS 改良液体培养基作为空白对照。取 100 μL 幽门螺杆菌的菌悬液均匀涂布于含抗生素的哥伦比亚血琼脂平板上,每孔加入待测液体 100 μL。将接好发酵液的平板置于37°C,微需氧环境下培养 48 h,培养结束后,用游标卡尺测量抑菌圈直径。按公式(1)计算幽门螺杆菌抑菌率。

幽门螺杆菌抑制率(%)=(R_x/R_y)×100% (1) 其中, R_x 表示待测液体对幽门螺杆菌的抑菌 圈直径(mm); R_y 表示阳性对照对幽门螺杆菌的抑 菌圈直径(mm)。

1.4 数据分析

采用 SPSS17.0 统计学软件进行数据处理和分析,每个试验重复 3 次平行测定,采用单因素方差分析(one-way ANOVA),利用 Duncan's 法进行多重比较,结果以平均值±标准差表示,P<0.05表示差异具有统计学意义。

2 结果与分析

2.1 不同因素对冻干粉活菌数的影响

冻干粉制备工艺的单因素结果如图1所示,

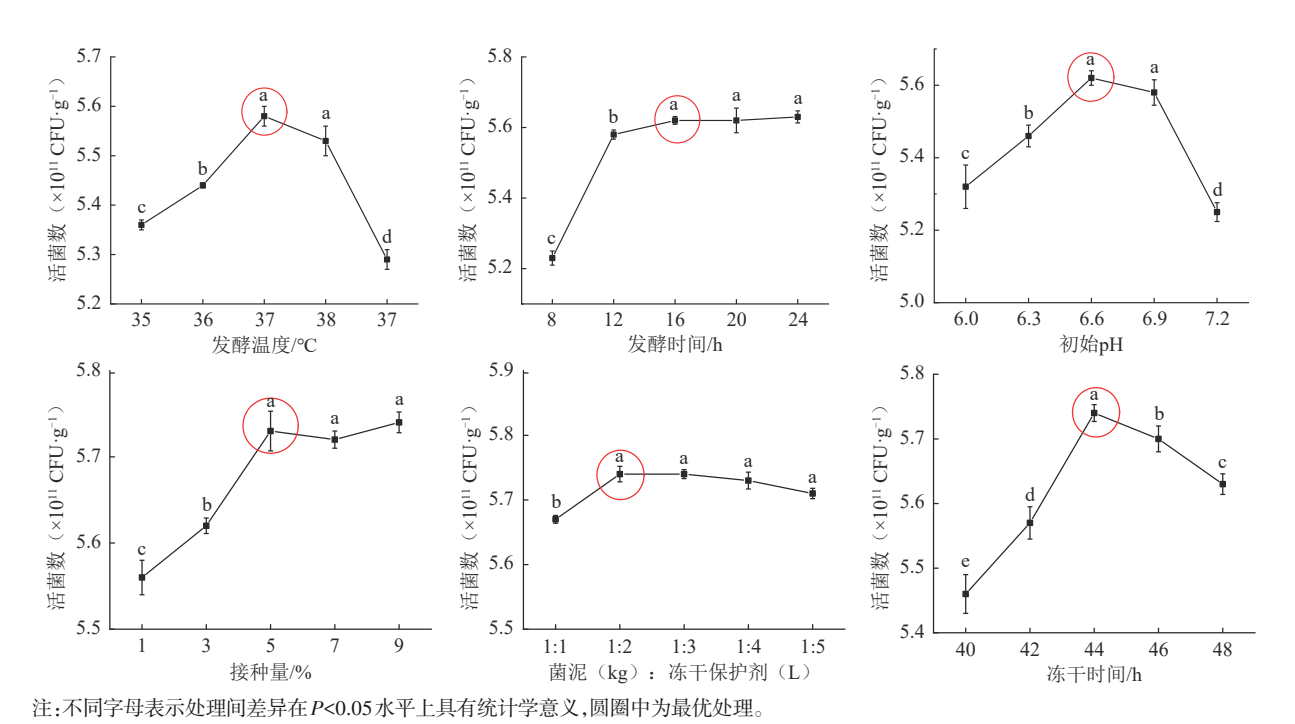


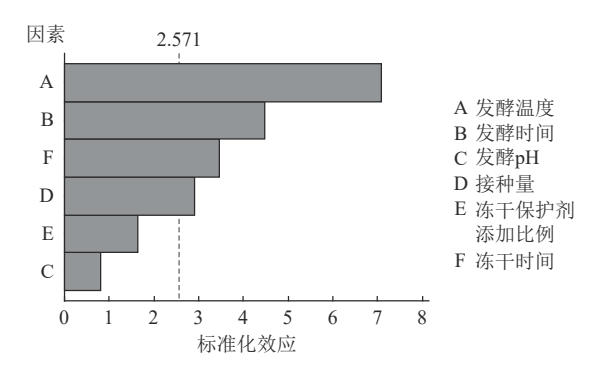
图1 不同因素对冻干粉活菌数的影响

Fig. 1 The influence of different factors on the number of live bacteria in freeze-dried powder

活菌数随发酵温度、初始pH和冻干时间的增加而增加,到达峰值后又开始降低;而随发酵时间、接种量以及冻干保护剂的增加而增加,但到峰值后便无显著变化。结果表明乳酸菌发酵过程中的温度、时间、初始pH、接种量,冻干过程中的菌泥与冻干保护剂的比例、冻干时间均对冻干粉活菌数有着显著的影响(P<0.05)。

2.2 影响冻干粉活菌数的主因素分析

影响冻干粉活菌数的因素过多,为了筛选 出对活菌数影响最大的因素,我们进行了PB 试验。通过Minitab设计的实验方案进行实验,获 得结果如表3所示,根据该结果绘制标准化效应 的Pareto图(图2),结果发现在显著性水平α为 0.05时,统计显著性的参考线为2.571,跨参考线的 因素包括发酵温度(℃)、发酵时间(h)、接种量(%)和冻干时间(h)4项,即为影响产品活菌数的主因素。



注:响应为"活菌数",α=0.05。

图2 标准化效应的Pareto图

Fig. 2 Pareto diagram of standardization effect

表 3 Plackett-Burman 试验设计与结果

Table 3 Design and results of Plackett-Burman experiment

			C				
实验编号	发酵温度/℃	发酵时间/h	初始pH	接种量/%	冻干保护剂	冻干时间/h	活菌数/(×10 ¹¹ CFU·g ⁻¹)
1	-1	-1	-1	-1	-1	-1	5.46
2	-1	1	-1	-1	-1	1	5.31
3	1	-1	1	1	-1	1	5.18
4	1	1	1	-1	1	1	5.11
5	1	1	-1	1	1	-1	5.06
6	-1	-1	-1	1	1	1	4.87
7	1	1	-1	1	-1	-1	5.25
8	1	-1	1	-1	-1	-1	5.29
9	-1	-1	1	1	1	-1	5.33
10	-1	1	1	-1	1	-1	5.02
11	1	-1	-1	-1	1	1	5.33
12	-1	1	1	1	-1	1	5.26

2.3 响应面试验结果

2.3.1 植物乳植杆菌 HCS03-001 冻干粉的响应面设计结果 根据 PB 因素筛选试验结果,选择发酵温度 (°C)、发酵时间(h)、接种量(%)、冻干时间(h)4个因素,以活菌数作为响应值,应用 Box-Behnken设计方案进行4因素 3 水平响应面试验,试验设计及结果见表4。应用 Design-Expert V 8.0.6 软件对表4的试验结果进行多元回归拟合,从而得到回归方程 $Y=5.822+0.160A+0.111B+0.026C+0.097D-0.032AB+0.018AC-0.005AD+0.005BD-0.53A^2-0.195B^2-0.070C^2-0.89D^2。$ 2.3.2 植物乳植杆菌 HCS03-001 冻干粉响应面试验结果分析 对模型方程进行显著性分析结果见

表5。由表5可知,影响植物乳植杆菌 HCS03-001 冻干粉活菌数的顺序为:发酵温度>发酵时间>冻干时间>接种量。回归方程模型P<0.000 1,失拟项P=0.729 6不显著,证明该方程模型具有极显著意义,且未知因素对实验干扰性小。模型相关系数 R^2 为0.999 3,接近于1,表明模型数据的拟合程度较高,能够较好地描述各因素与响应值活菌数之间的真实关系,模型的校正决定系数 $R_{\omega j}^2$ 为0.998 5,表明该模型能够解释99.85%的响应值活菌数变化。

2.3.3 响应面两两因素交互作用 图 3 为各响应面图,图中清楚地显示了活菌数在一定范围内随

表 4 响应面试验结果

Table 4 Response surface test results

序号	A:发酵温度/℃	B:发酵时间/h	C:接种量/%	D:冻干时间/h	活菌数/(×10 ¹¹ CFU·g ⁻¹)
1	0	1	1	0	5.68
2	0	0	0	0	5.79
3	0	-1	1	0	5.48
4	0	-1	-1	0	5.44
5	0	0	0	0	5.81
6	0	0	-1	-1	4.74
7	0	0	-1	1	4.94
8	-1	1	0	0	5.09
9	0	-1	0	-1	4.52
10	1	-1	0	0	5.17
11	0	0	1	1	4.98
12	0	0	0	0	5.83
13	0	1	0	-1	4.75
14	1	0	0	-1	4.49
15	0	0	1	-1	4.78
16	0	1	-1	0	5.64
17	1	0	1	0	5.45
18	-1	0	1	0	5.08
19	1	1	0	0	5.33
20	1	0	-1	0	5.34
21	-1	0	0	1	4.34
22	0	0	0	0	5.84
23	0	-1	0	1	4.72
24	0	0	0	0	5.84
25	0	1	0	1	4.97
26	1	0	0	1	4.65
27	-1	0	0	-1	4.16
28	-1	-1	0	0	4.80
29	-1	0	-1	0	5.04

着发酵温度、发酵时间、接种量和冻干时间的升高而呈非线性地增加趋势,达到峰值后随着其增高而降低。其中发酵温度与发酵时间存在显著的交互作用(P<0.05),发酵温度与接种量、发酵温度与冻干时间、发酵时间与冻干时间之间互相影响但不显著(P>0.05),而其他因素之间没有互作关系(P=1),这表明发酵温度是整个体系中影响最深的因素,与其他所有因素均存在互作关系。此外,发酵阶段与后续冻干阶段彼此之间也有互作关系,应放到一个体系中进行研究。根据 Design Expert

软件分析预测,最优工艺条件为发酵温度 37.15 °C,发酵时间 16.27 h,接种量 5.20%,冻干时间 44.05 h,预测冻干粉活菌数为 5.854×10^{11} CFU·g $^{-1}$ 。

2.3.4 模型验证试验 验证试验选取发酵温度为 37° C,发酵时间为 16 h,接种量为 5.2%,冻干时间为 44 h,在此条件下进行 3 次平行试验,其活菌数分别为 5.846×10^{11} CFU·g⁻¹、 5.852×10^{11} CFU·g⁻¹、 5.855×10^{11} CFU·g⁻¹,均值为 5.851×10^{11} CFU·g⁻¹,与预测值 $(5.854\times10^{11}$ CFU·g⁻¹)接近,表明该模型可靠。

表 5 回归模型方差分析

Table 5	Analysis	of variance	e of regression	n model
---------	----------	-------------	-----------------	---------

项目	平方和	自由度	均方	F值	P值
模型	6.73	14	0.48	1 344.61	< 0.000 1
A-发酵温度	0.31	1	0.31	859.3	< 0.000 1
B-发酵时间	0.15	1	0.15	412.33	< 0.000 1
C-接种量	8.01×10^{-3}	1	8.01×10^{-4}	22.4	0.000 3
D-冻干时间	0.11	1	0.11	313.66	< 0.000 1
AB	4.23×10 ⁻³	1	4.23×10 ⁻⁴	11.82	0.004
\mathbf{AC}	1.23×10 ⁻³	1	1.23×10 ⁻⁴	3.43	0.085 4
AD	1.00×10^{-4}	1	1.00×10^{-4}	0.28	0.605 2
BC	0	1	0	0	1
BD	1.00×10^{-4}	1	1.00×10^{-4}	0.28	0.605 2
CD	0	1	0	0	1
\mathbf{A}^2	1.79	1	1.79	5 020.01	< 0.000 1
\mathbf{B}^2	0.25	1	0.25	688.16	< 0.000 1
C^2	0.032	1	0.032	88.27	< 0.000 1
D^2	5.12	1	5.12	14 323.47	< 0.000 1
残差	5.01×10^{-3}	14	3.58×10 ⁻⁴	_	_
失拟项	3.13×10^{-3}	10	3.13×10 ⁻⁴	0.66	0.726 9
纯误差	1.88×10^{-3}	4	4.70×10 ⁻⁴	_	_
总离差	6.73	28	_	_	_

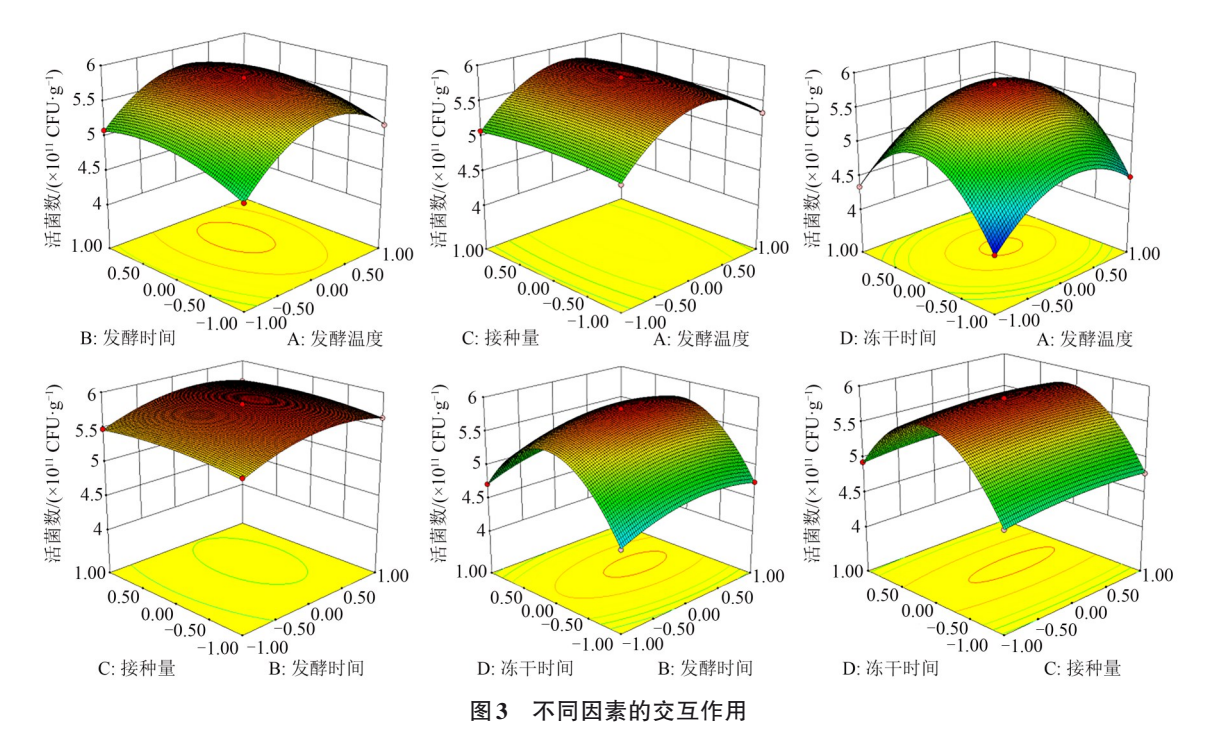


Fig. 3 Interaction of different factors

2.4 植物乳植杆菌 HCS03-001 对幽门螺杆菌的 抑菌作用

由表6和图4可知,空白对照组无抑菌圈,阳 性对照组抑菌圈直径最大,表明利用本实验方法 验证样品抗幽门螺杆菌功能是可行的。阳性对照组抑菌圈直径约为20.92 mm,幽门螺杆菌抑菌率经计算为100%;植物乳植杆菌HCS03-001发酵后菌悬液的抑菌圈直径约为16.84 mm,经计算其幽

表 6 植物乳植杆菌 HCS03-001 发酵上清液和菌悬液的抑菌率

Table 6 Bacteriostatic rate of fermentation supernatant and bacterial suspension of Lactiplantibacillus plantarum HCS03-001

组别	OD_{600}	抑菌圈直径/mm	幽门螺杆菌抑制率/%
空白对照	_	0	0
阳性对照	_	20.92±1.02**	100.00**
菌悬液	1.911	16.48±2.14**	78.78**
发酵上清液	0.253	14.55±0.84**	69.55**

注:**表示与空白对照组相比差异在P<0.01水平上具有统计学意义。



注:图中左上为甲硝唑阳性对照,右上为MRS空白培养基,左下为植物乳植杆菌 HCS03-001 发酵上清液,右下为植物乳植杆菌 HCS03-001 发酵菌悬液。

图 4 植物乳植杆菌 HCS03-001 发酵上清液和菌悬液的 抑菌效果

Fig. 4 Bacteriostatic effect of fermentation supernatant and bacterial suspension of *Lactiplantibacillus plantarum*HCS03-001

门螺杆菌抑制率为78.78%;植物乳植杆菌 HCS03-001 发酵上清液的抑菌圈直径约为14.55 mm,经计算其幽门螺杆菌抑制率为69.55%,均显著高于空白对照组(*P*<0.01)。

3 讨论

植物乳植杆菌 HCS03-001 冻干粉的品质与发酵过程中的发酵温度、时间、初始 pH、接种量,以及冻干过程中的冻干保护剂添加比例、冻干时间密切相关。菌株在最适的温度和 pH环境下发酵可得到最高的活菌数,条件偏低或者偏高都会影响菌株的活力从而影响产物的活菌数。接种量可以影响菌株启动发酵的速度,发酵时间则取决于培养基中的养分含量。通过单因素试验可知植物乳植杆菌 HCS03-001 的最佳发酵条件为接种量5%、发酵温度37°C、初始pH6.6的条件下发酵

16 h。冻干过程对产品最终的活菌数有着较大的影响,因此我们选择添加冻干保护剂,经单因素试验表明最佳冻干条件为菌泥(kg):冻干保护剂(L)=1:2,冻干时间为44 h。为了筛选出对活菌数影响最大的因素,我们进行了PB试验,分析出发酵温度、发酵时间、接种量、冻干时间这4个因素为影响产品活菌数的主因素,并以此进行响应面试验来优化工艺条件,得出最优工艺条件为发酵温度为37°C,发酵时间为16 h,接种量为5.2%,冻干时间为44 h,在此条件下活菌数为5.851×10°CFU·g⁻。

本研究通过体外功能试验发现植物乳植杆菌 HCS03-001的发酵上清液和菌悬液均具备明显抗 幽门螺杆菌效果,且菌悬液效果更优。与本研究 的结果类似,管爱星等[19]在对不同益生菌的体外 抗幽门螺杆菌试验中发现,枯草芽孢杆菌、弯曲乳 酸杆菌、嗜酸乳杆菌、粪肠球菌均具有抑制幽门螺 杆菌的功能,其中枯草芽孢杆菌的抑制效果最 好。而当枯草芽孢杆菌与嗜酸乳杆菌联合使用后 对幽门螺杆菌抗菌效果更佳。张美怡等[20]研究发 现鼠李糖乳杆菌 JS-SZ-2-1 具有较强的抗幽门螺 杆菌功能,其抑菌圈达到了12.92 mm,效果与阳 性菌株LGG抑菌效果相似,同时鼠李糖乳杆菌JS-SZ-2-1 还具有抑制幽门螺杆菌粘附能力的功能, 其黏附率可下降30%。因此,猜测植物乳植杆菌 HCS03-001的这种抗幽门螺杆菌功能可能与其生 长代谢产物的组成,以及抑制幽门螺杆菌粘附作 用的能力有关,然而具体起作用的成分及作用机 理还需要进一步验证。

综上所述,植物乳植杆菌 HCS03-001 冻干粉最优工艺条件为发酵温度 37 °C,发酵时间 16 h,接种量 5.2%,冻干时间 44 h,在此条件下活菌数为 5.851×10^{11} CFU·g⁻¹。植物乳植杆菌 HCS03-001 的发酵上清液和菌悬液能抑制 $69.55\%\sim78.78\%$ 的幽门螺杆菌的生长。结果提示植物乳植杆菌 HCS03-

001具备抗幽门螺杆菌功能。

参考文献

- [1] SAVOLDI A, CARRARA E, GRAHAM D Y, et al.. Prevalence of antibiotic resistance in *Helicobacter pylori*: a systematic review and meta-analysis in World Health Organization regions[J]. Gastroenterology, 2018, 155(5): 1372-1382.
- [2] LOSURDO G, CUBISINO R, BARONE M, et al.. Probiotic monotherapy and Helicobacter pylori eradication: a systematic review with pooled-data analysis[J]. World J. Gastroenterol., 2018, 24(1): 139-149.
- [3] 刘昆梅,刘宏鹏,郭乐.幽门螺杆菌ATCC 43504感染BALB/c 小鼠动物胃炎模型的建立及分析[J].生物技术进展,2015,5(6):446-450.
 - LIU K M, LIU H P, GUO L. Establishment and analysis of gastritic model of *Helicobacter pylori* ATCC 43504 infection in BALB/c mice[J]. Curr. Biotechnol., 2015, 5(6): 446-450.
- [4] 陈霞,夏晨梅,戴再友,等.十二指肠溃疡中幽门螺杆菌定植与菌群结构的关系[J].生物技术进展,2019,9(5):536-542. CHEN X, XIA C M, DAI Z Y, et al.. The relationship between *Helicobacter pylori* colonization and duodenal flora structure in duodenal ulcer[J]. Curr. Biotechnol., 2019, 9(5): 536-542.
- [5] MESTRE A, SATHIYA N R, RIVAS D, et al. Role of probiotics in the management of *Helicobacter pylori*[J/OL]. Cureus, 2022, 14(6): e26463 [2023-09-21]. https://doi.org/10.7759/cureus.26463.
- [6] 朱红梅,刘颖初,薛元,等.2012-2022年中国幽门螺杆菌流行病学Meta分析[J].预防医学情报杂志,2023,39(9):1124-1137. ZHU H M, LIU Y C, XUE Y, et al.. Meta-analysis of epidemiology of Helicobacter pylori infection in China from 2012 to 2022[J]. J. Prev. Med. Inf., 2023, 39(9): 1124-1137.
- [7] PENUMETCHA S S, AHLUWALIA S, IRFAN R, et al.. The efficacy of probiotics in the management of *Helicobacter pylori*: a systematic review[J/OL]. Cureus, 2021, 13(12): e20483 [2023-09-22]. https://doi.org/10.7759/cureus.20483.
- [8] CHEY W D, LEONTIADIS G I, HOWDEN C W, et al.. ACG clinical guideline: treatment of *Helicobacter pylori* infection[J]. Am. J. Gastroenterol., 2017, 112(2): 212-239
- [9] JI J, YANG H. Using probiotics as supplementation for Helicobacter pylori antibiotic therapy[J/OL]. Int. J. Mol. Sci., 2020, 21(3): 1136[2023-09-21]. https://doi.org/10.3390/ijms21031136.
- [10] QURESHI N, LI P, GU Q. Probiotic therapy in *Helicobacter pylori* infection: a potential strategy against a serious pathogen?[J]. Appl. Microbiol. Biotechnol., 2019, 103(4): 1573-1588.
- [11] BATDORJ B, TRINETTA V, DALGALARRONDO M, et al... Isolation, taxonomic identification and hydrogen peroxide production by Lactobacillus delbrueckii subsp. lactis T31, isolated from Mongolian yoghurt: inhibitory activity on food-borne

- pathogens fool-borne pathogens[J]. J. Appl. Microbiol., 2007, 103(3): 584-593.
- [12] BAI X, ZHU M, HE Y, et al.. The impacts of probiotics in eradication therapy of *Helicobacter pylori*[J/OL]. Arch. Microbiol., 2022, 204(12): 692[2023-09-22]. https://doi.org/10.1007/s00203-022-03314-w.
- [13] 汪海涛,汤纯,闵祥博,等.植物乳杆菌 HCS03-001 对龋病防治作用研究[J].中国乳品工业,2023,51(8):20-24. WANG H T, TANG C, MIN X B, et al.. Prevention and treatment effect on dental caries of Lactobacillus plantarum HCS03-001[J]. China Dairy Ind., 2023, 51(8): 20-24.
- [14] 宋佳,余萍,矫艳平,等.具有缓解口臭效果的植物乳杆菌 HCS03-001 对食品防腐剂的耐受性研究[J].中国食品添加 剂,2022,33(11):113-117. SONG J, YU P, JIAO Y P, et al.. Tolerance to food preservatives of *Lactobacillus plantarum* HCS03-001 with halitosis relieving effect[J]. China Food Addit., 2022, 33(11): 113-117.
- [15] 陈雪,矫艳平,余萍,等.植物乳杆菌 HCS03-001 对小鼠功能性便秘及肠道菌群的影响[J].中国酿造,2022,41(1):55-58. CHEN X, JIAO Y P, YU P, et al.. Effect of Lactobacillus plantarum HCS03-001 on functional constipation and intestinal flora in mice[J]. China Brew., 2022, 41(1): 55-58.
- [16] 矫艳平,余萍,赵迪,等.植物乳杆菌 HCS03-001安全性评价 及其益生特性分析[J].食品工业科技,2022,43(5):165-171. JIAO Y P, YU P, ZHAO D, et al.. Safety evaluation and probiotic characteristics analysis of *Lactobacillus plantarum* HCS03-001[J]. Sci. Technol. Food Ind., 2022, 43(5): 165-171.
- [17] 周宇朦.维生素 K2 菌株的选育及高效发酵技术的研究[D]. 沈阳:沈阳农业大学,2020.
- [18] 张立华,王一樊,张旭阳,等. 响应面分析法优化酶法提取红景天苷的工艺研究[J]. 生物技术进展,2023, 3(3):441-448. ZHANG L H, WANG Y F, ZHANG X Y, et al.. Optimization of enzymatic extraction process of salidroside by response surface analysis[J]. Curr. Biotechnol. 2023, 13(3): 441-448.
- [19] 管爱星,黄玉存,黄干荣,等. 益生菌的不同组合体外抗幽门螺杆菌作用的实验研究[J]. 右江民族医学院学报,2023,45(2):208-212+217.
 GUAN A X, HUANG Y C, HUANG G R, et al.. Experimental study on anti-helicobacter pylori effect of different combinations of probiotics in vitro[J]. J. Youjiang Med. Univ. Natl., 2023,45(2): 208-212+217.
- [20] 张美怡,翟齐啸,赵建新,等.鼠李糖乳杆菌 JS-SZ-2-1 抗幽门螺杆菌感染的临床效果评价[J].食品与发酵工业,2020,46 (23):29-34.
 - ZHANG M Y, ZHAI Q X, ZHAO J X, et al.. Clinical efficacy evaluation of *Lactobacillus rhamnosus* JS-SZ-2-1 against *Helicobacter pylori* infection[J]. Food Ferment. Ind., 2020, 46(23): 29-34.